



Technologie sol-gel a vybrané aplikace

IÚstav fotoniky a elektroniky AV ČR, v.v.i., Chaberská 57, 18251 Praha 8

Jan Mrazek, Ivan Kasik, Ondrej Podrazky, Vlastimil Matejec



Obsah

Úvod

Princip metody sol-gel

Příprava

objemových vzorků

vrstev

Vybrané aplikace

magneto-opticky aktivní částice

fotokatalytické materiály

Rozdělení materiálů

Pevné látky

objemové vzorky,
monolity, bulky



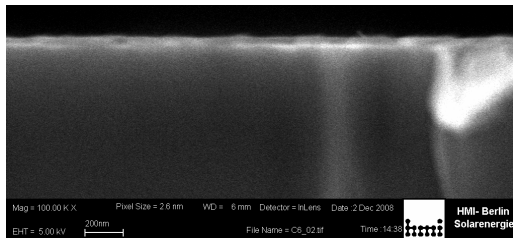
vrstvy

amorfní



skla

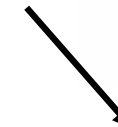
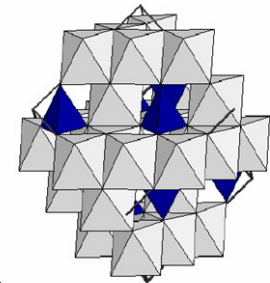
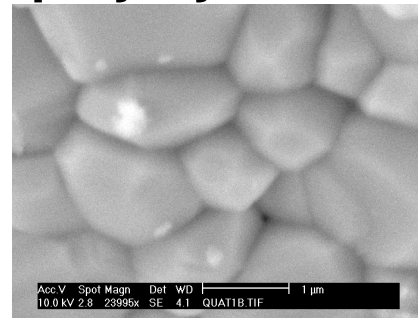
amorfní materiály



krystalické



polykrystalické



monokrystalické

Rozdělení materiálů

Porézní



neporézní, kompaktní

Velikost pórů

Mikroporézní

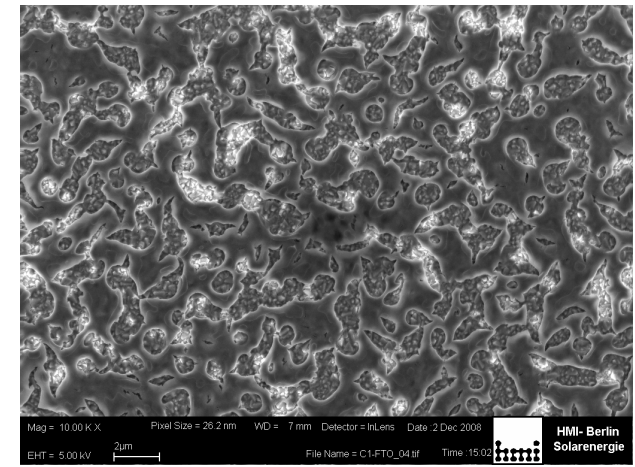
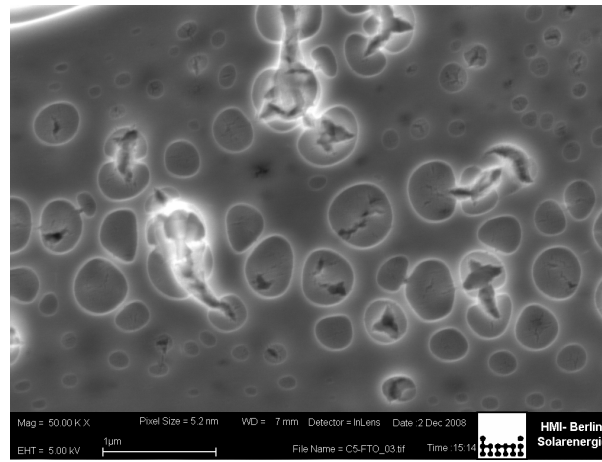
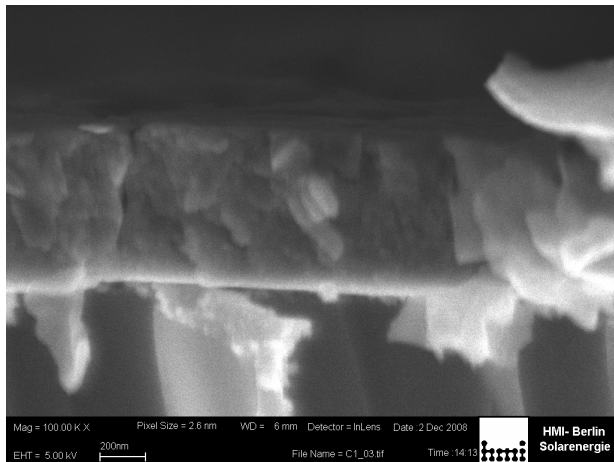
< 10 nm

Mesoporézní

10~100 nm

Makroporézní

> 100 nm



Koloidní systémy

Koloidní částice dispergované v koloidním prostředí

kapalina — kapalina → emulze

kapalina — plyn → aerosol

**pevné částice
dispergované:**

vodě →

hydrosol

organickém prostředí →

organosol

↓
soly

Příprava solí

Dispergace

mletí, rozpouštění
rubínové sklo



Kondenzace

reverzibilní

ireverzibilní

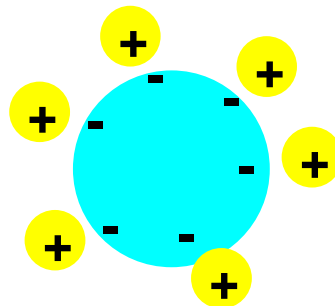
chemická

reakce

latexy

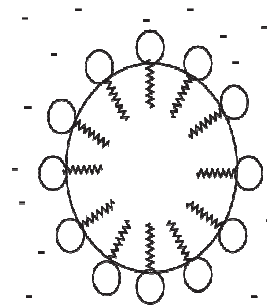
Stabilizace

Elektrostatická



pH

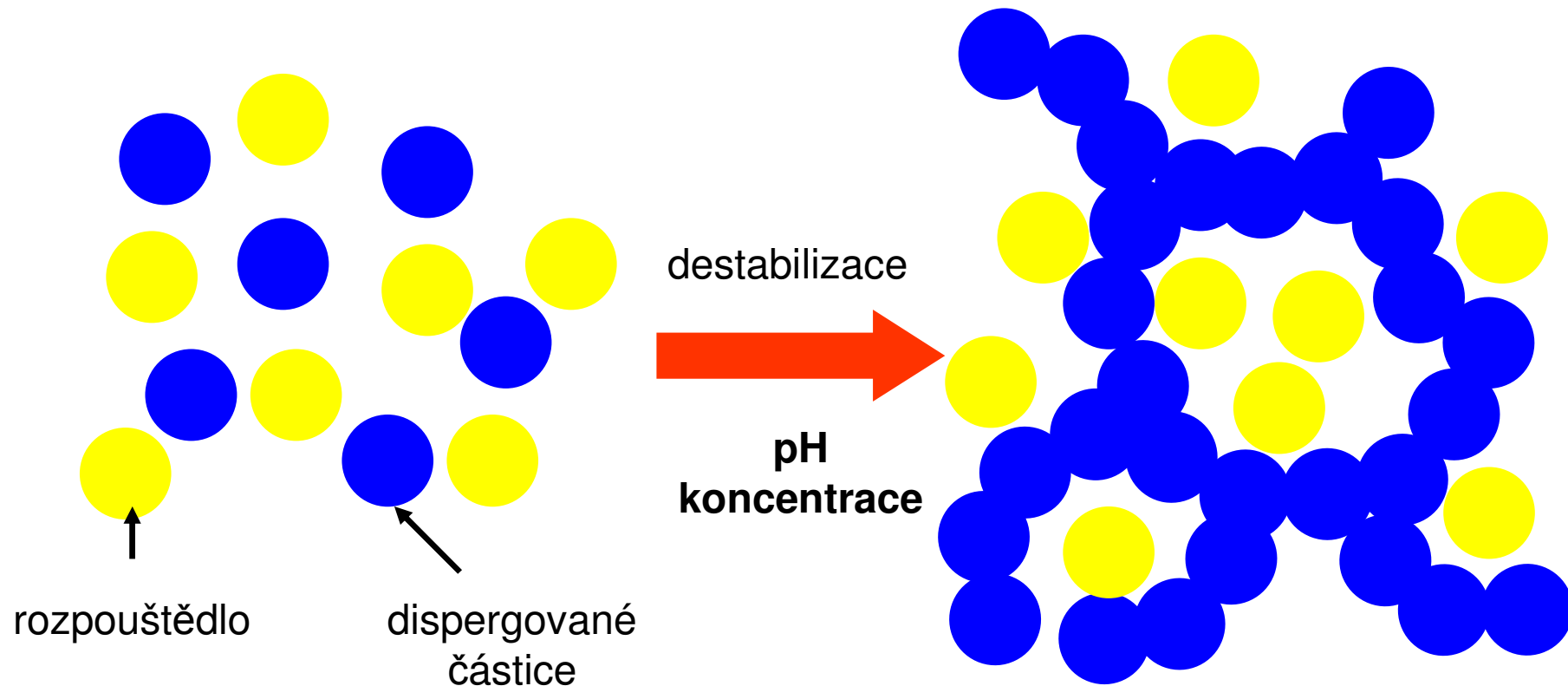
Sférická



surfaktant

povrchově
aktivní látka

Přechod sol-gel



Gel – prostorová síť zachycující molekuly rozpouštědla

reverzibilní, ireverzibilní, hydrogely

Tepelné zpracování gelů

xerogely

tepelné
zpracování za
normálního tlaku

konvenční tepelné procesy
prášky, vrstvy, 20% porozity



aerogely

tepelně zpracování za
nadkritických
podmínek rozpouštědla

autokláv, 200 atm.
objemové materiály
> 98% porozity
hustota 0,01 g/cm³



Metoda sol-gel

Metoda, která využívá přechod sol-gel k přípravě materiálů

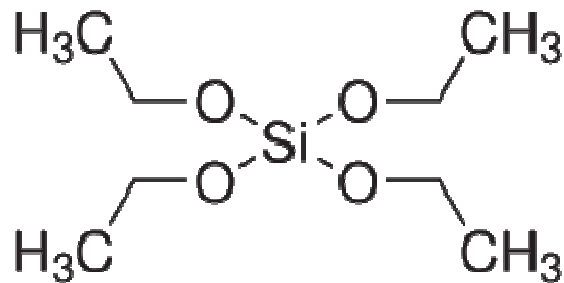
Přesah do koloidní chemie

potravinářství, barvení skla

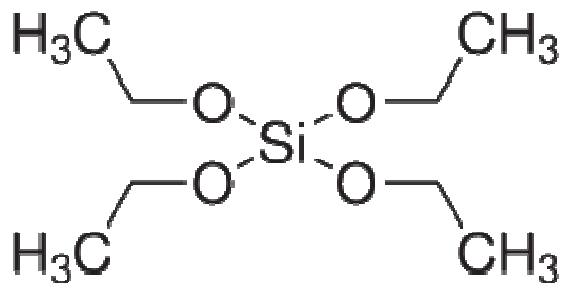
latex, želatina, škrob, bílkoviny, slinování UO_3

50. léta 20. století

tetraethoxysilan, tetraethylorthosilikát (TEOS)



Reakce TEOS

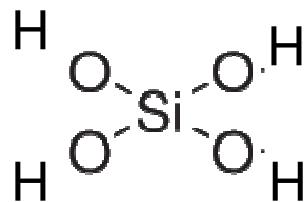
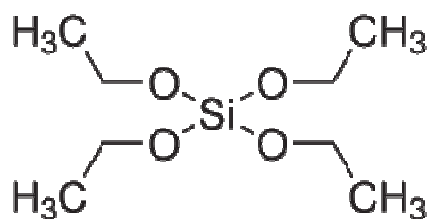


nepolární bezbarvá kapalina

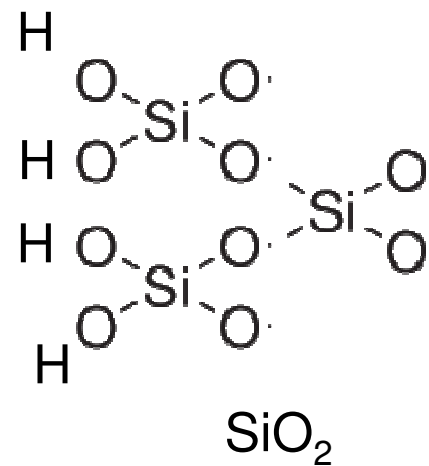
mísitelná s alkoholy

Reakce s vodou

Hydrolýza



Kondenzace

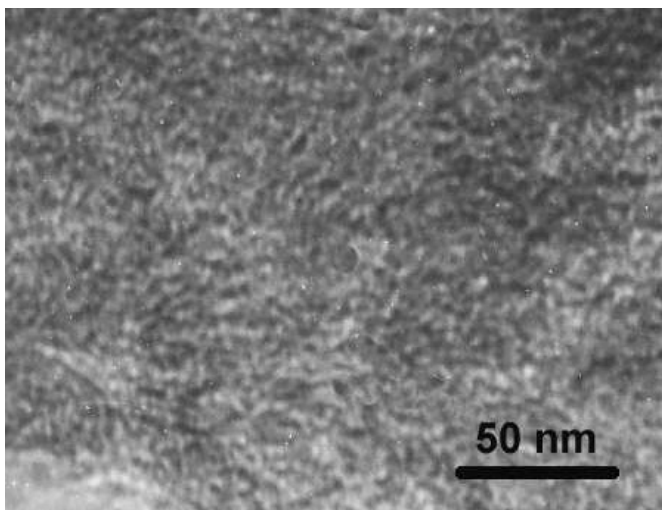


Reakce TEOS

Kyselý pH

Hydrolýza

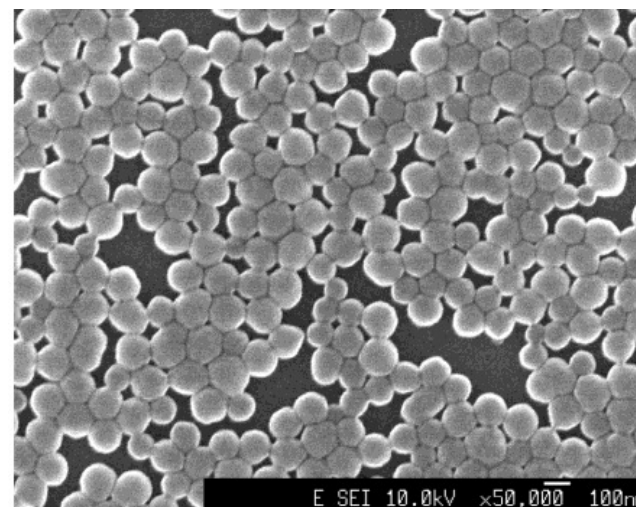
vznik porézních sítí



Zásadité pH

Kondenzace

**vznik kompaktního
materiálu**



Výhody

Mísitelnost na molekulární úrovni
optická kvalita
příprava reaktivních látek
Bottom-up syntézy

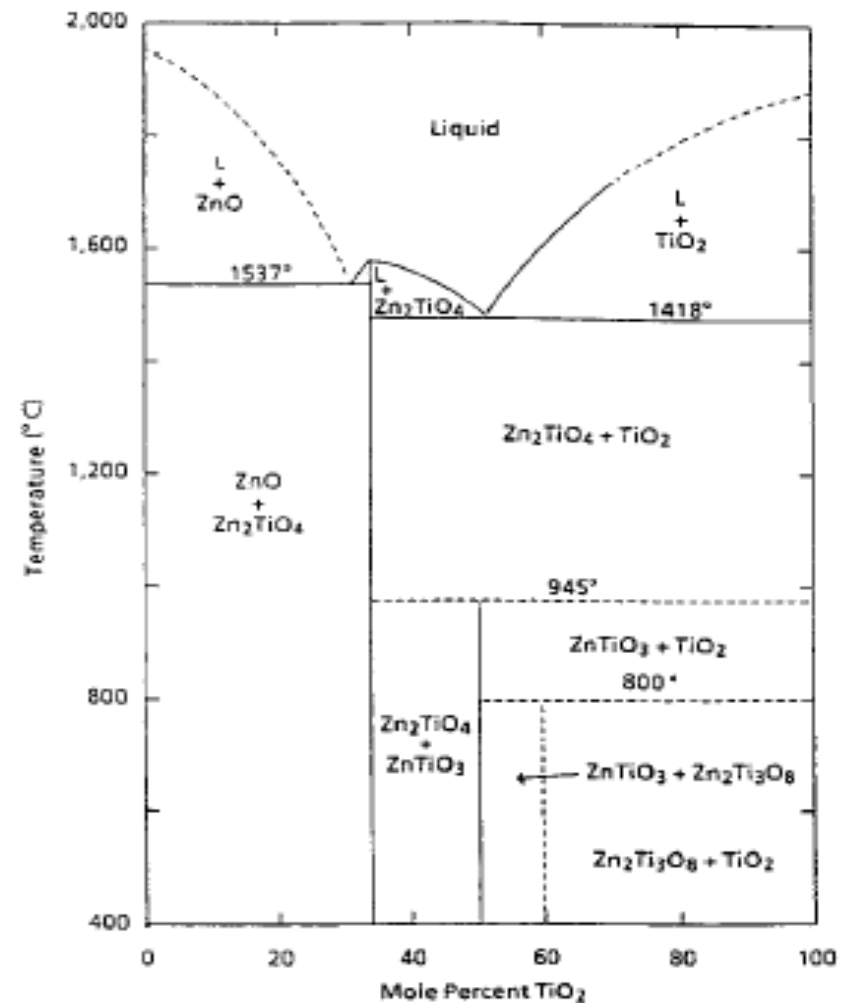


FIG. 2. Proposed new ZnO-TiO₂ phase diagram.
Yang and Swisher, 1996

Příprava materiálů

Nové kompozitní polymerní materiály

ORMOSIL organically modified silicates (Si)

ORMOCER organically modified ceramic (Fe, Al)

ochranné povlaky, nátěry

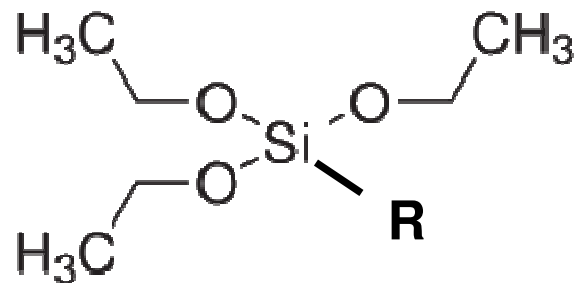
Sklo, keramika, amorfní materiály

Amorfní a polykrystalické materiály

výchozí materiály pro růst monokrystalů

Monolity, vrstvy

Modifikované sloučeniny



substitute ethoxyskupiny za R:

-methyl, ethyl...oktyl

-propyl-NH₂

-propyl-Cl

-glycidoxypropyl

vazba Si-C nepodléhá hydrolýze

funkční skupina zůstává zachována v gelu

(chemická kotva)

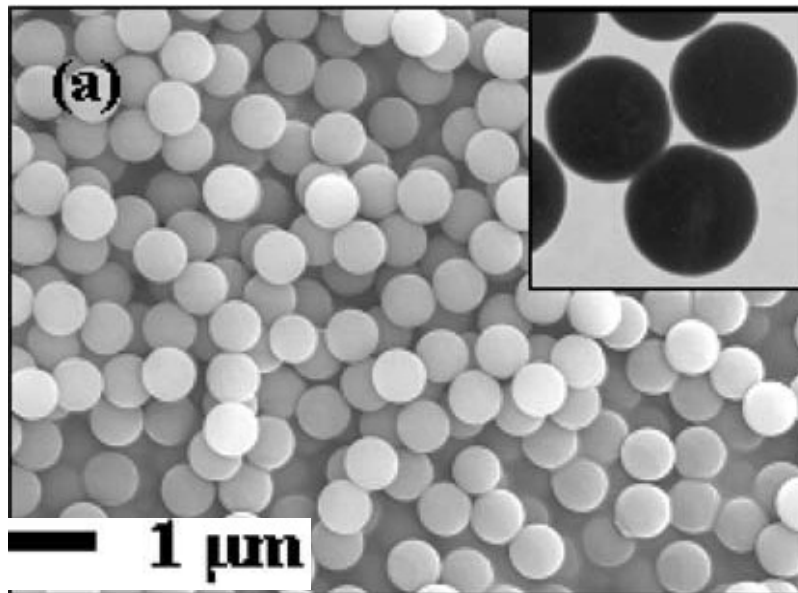
charakter povrchově aktivní látky

Modifikované sloučeniny

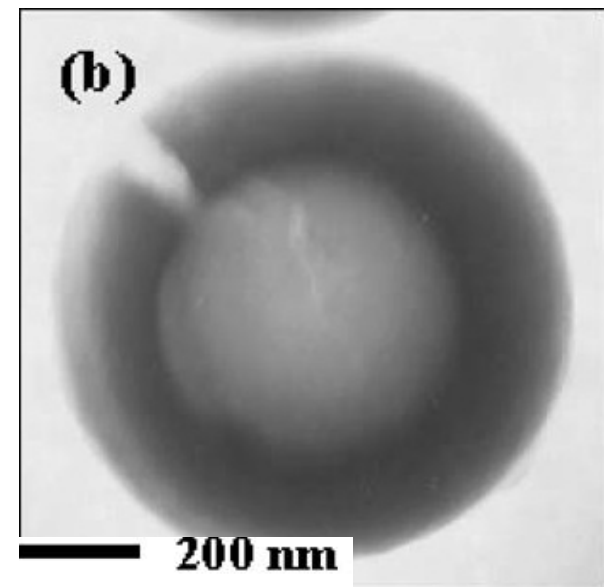
příprava „core-shell“ struktur

jádro SiO_2
funkcionalizovaný povrch

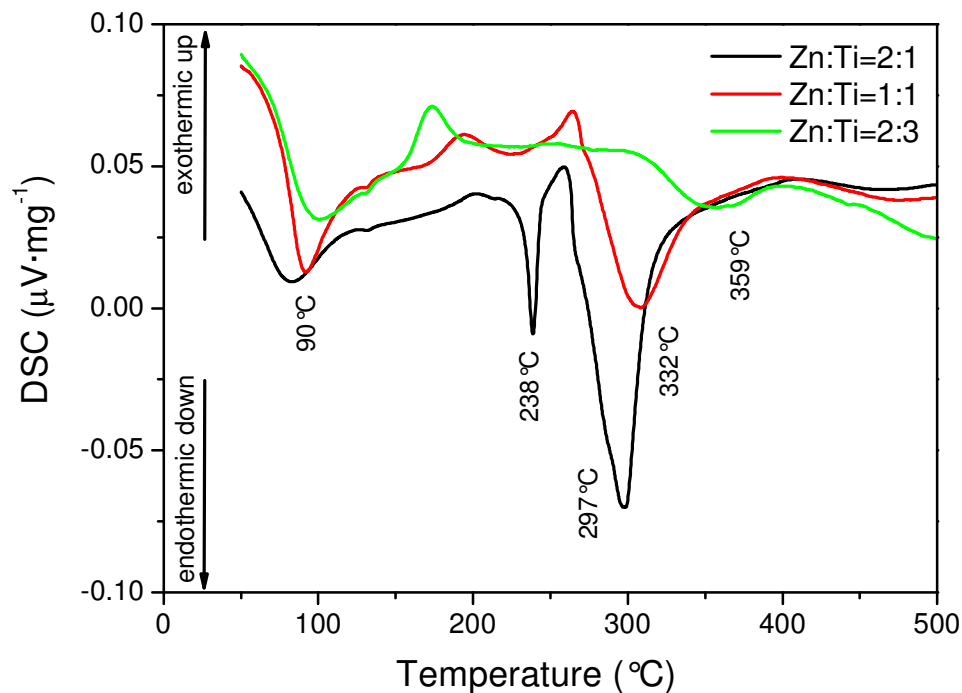
vinyltrimethoxysilan



phenyltrimethoxysilan



Tepelné zpracování gelů



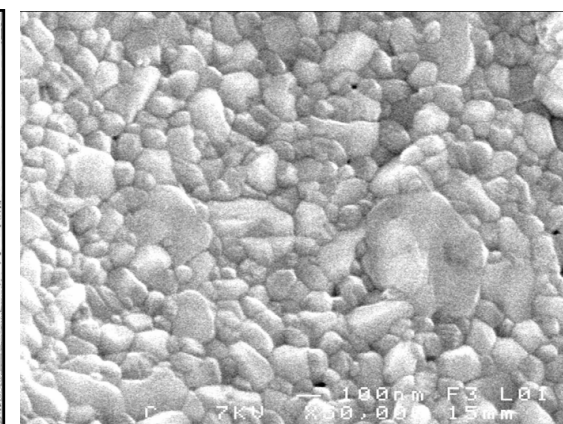
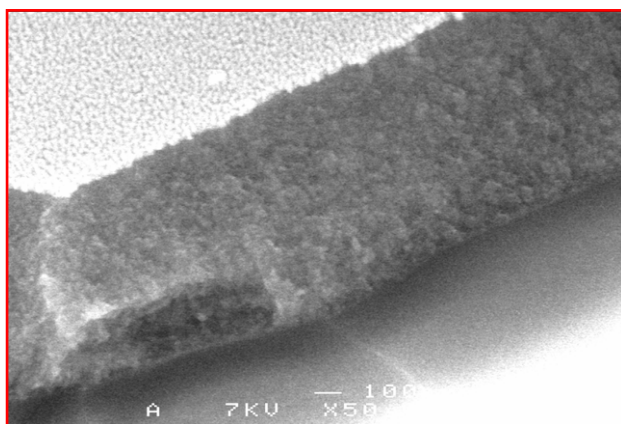
90 °C volná organika, vlhkost

240 °C estery

360 °C organické ligandy

450 °C dehydratace OH skupin

Zn:Ti=2:3, 650 °C



Příprava monolitů

zpracování xerogelů, sušení gelů

Alternativa

Konvenční keramické postupy

Práškové slinování

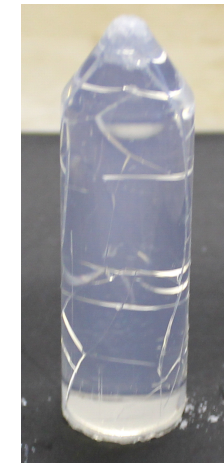
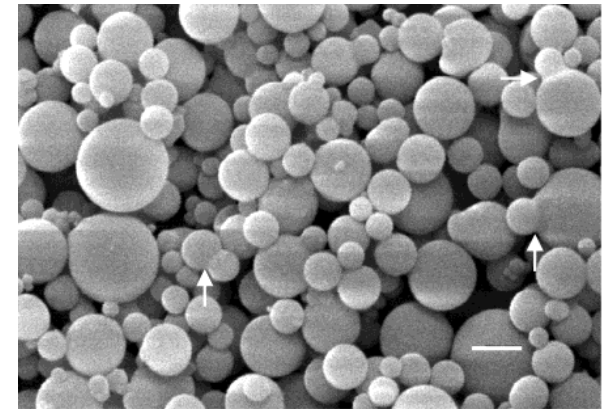
Depozice z plynné fáze (CVD, OVD)

Omezení

Objemové kontrakce (až 80%)

Odpaření rozpouštědla

–kapilární tlak v pórech



Příprava monolitů

Využití

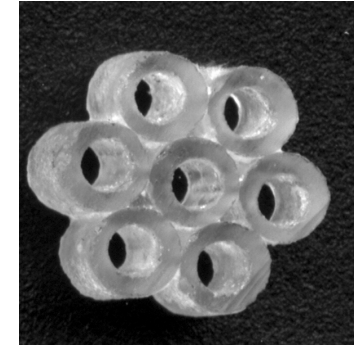
Polykrystalické substráty

Porézní keramika

Tepelně-odolná keramika

Optické materiály

Chromatografické kolony



Příprava vrstev

Dva stupně:

Depozice solů na substrát

Tepelné zpracování vrstvy



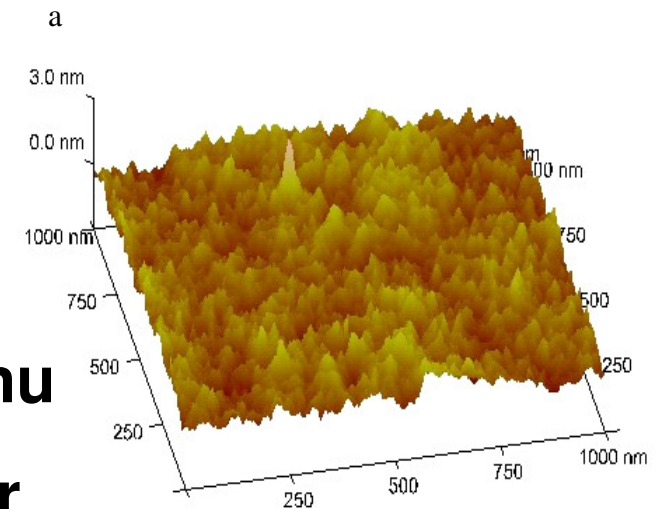
Výhody:

Nízké teploty zpracování

Kontrolovaná vnitřní struktura

Vysoká přesnost a kvalita povrchu

Kombinace vrstevnatých struktur



Konvenční depozice vrstev



**Polévání,
natírání**

< 1 mm

**Sprejování
elektrostatické
nanášení**

ochranné povlaky

< 100 μm

Vakuové napařování

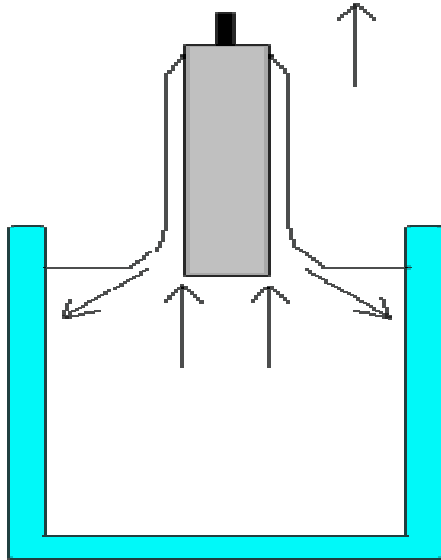
**Pulsní laserová
depozice**

Molekulární epitaxe

**vakuové metody
optika, elektronika**

1 nm - 1 μm

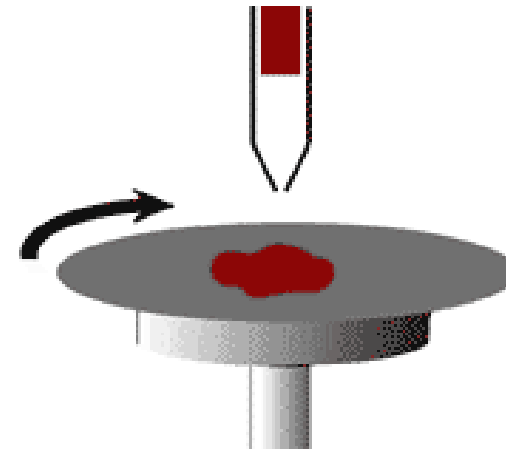
Depozice vrstev



Dip-coating

Tloušťka: rychlostí tažení
viskozitou solu

Langmuir-Blodgett vrstvy **5nm - 5 μ m**

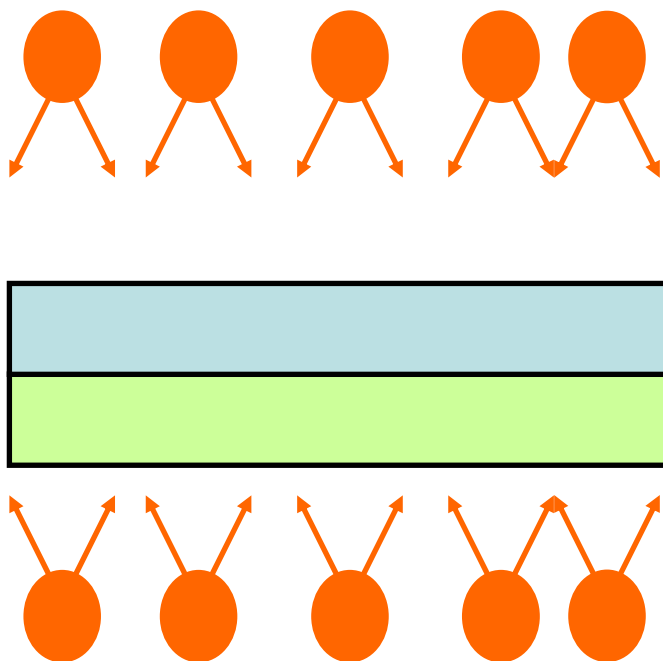


Spin-coating

rychlostí rotace
viskozitou solu

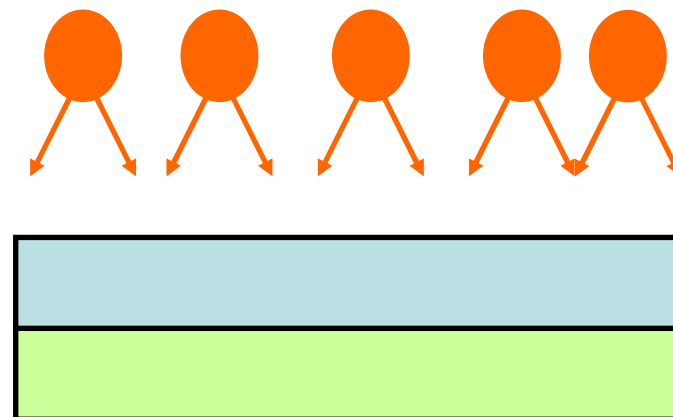
Tepelné zpracování vrstev

Konvenční pec



Rapid Thermal Annealing

radiační přenos



Rychlý ohřev – prudký odpar, větší porozita,

Tepelné zpracování vrstev

Denzifikace vrstvy

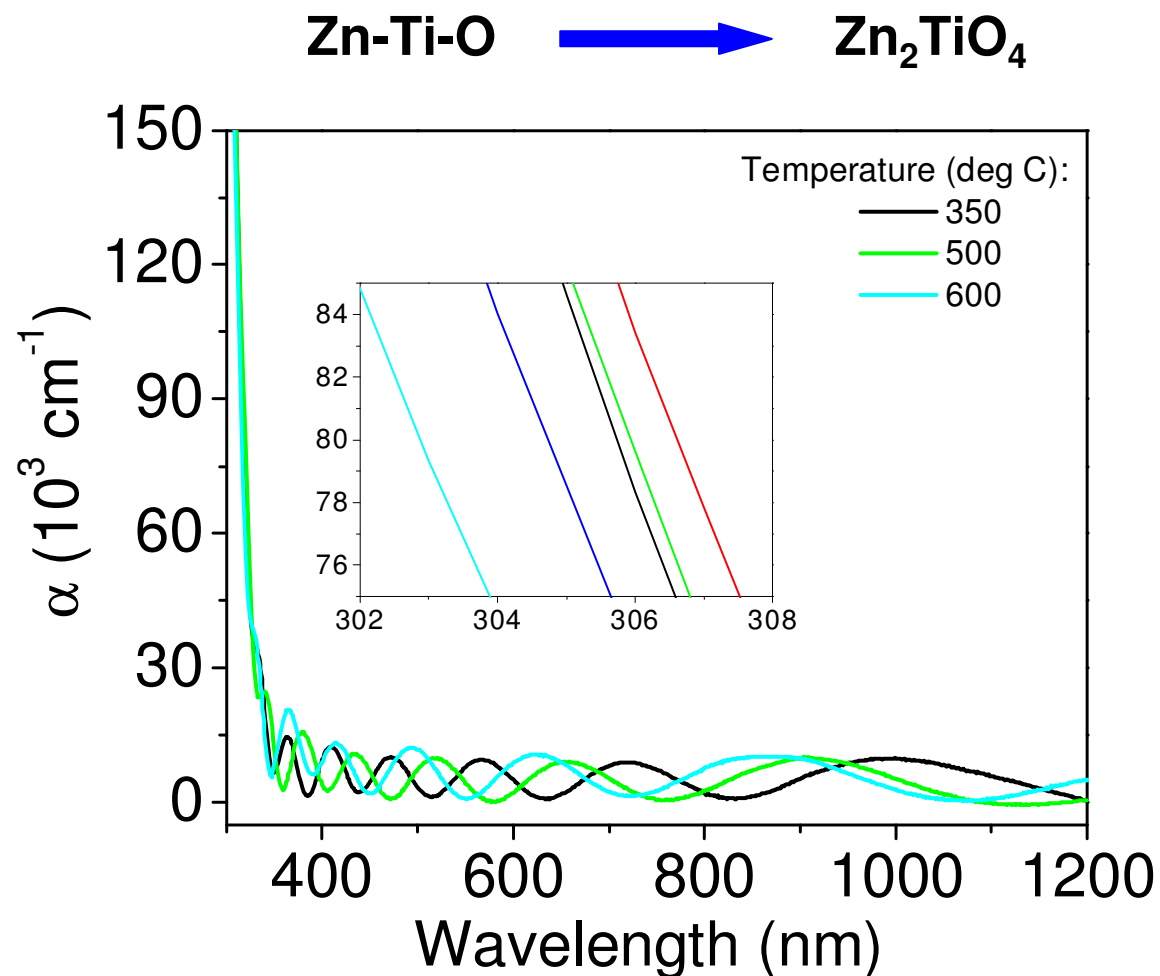
Řízení tloušťky

Řízení porozity

Profilometr

Interferometr

Optický elipsometr



Jednoduché metody modifikace porozity

Rychlost tvrzení

řízená mikroporozita (< 10 nm)

Plniva (vosk, PEG, inertní micely)

řízená mezoporozita (10-50 nm)

Nevýhody:

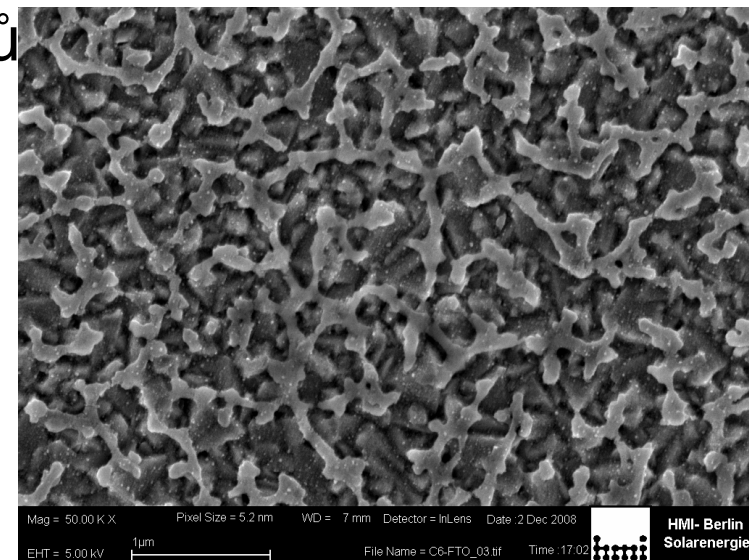
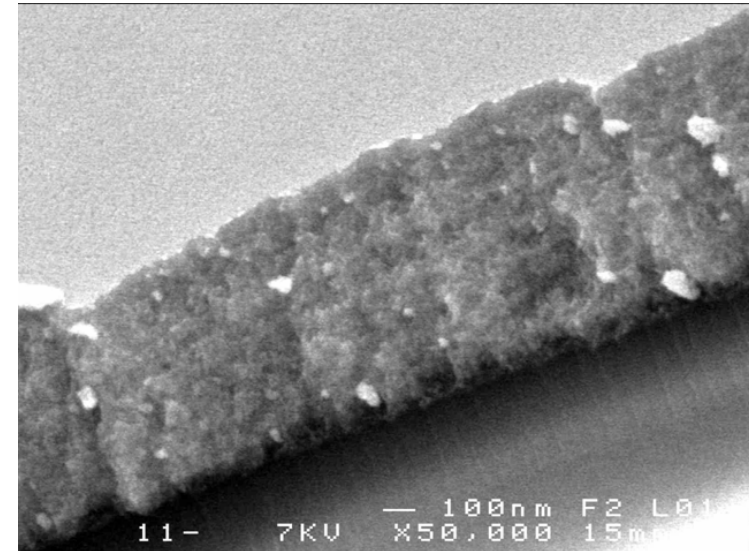
náhodná distribuce velikosti pórů

náhodná struktura

Použití

membrány

anorganické nosiče, adsorbéry



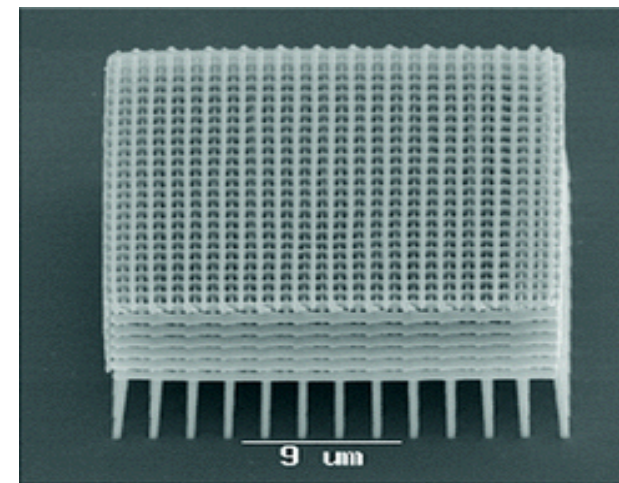
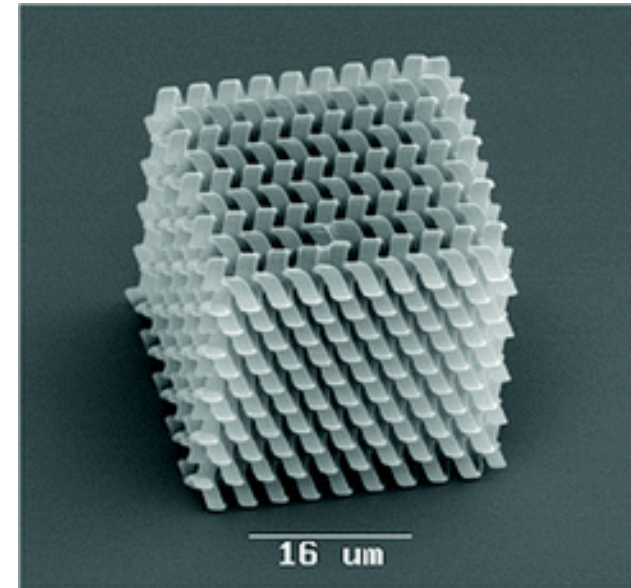
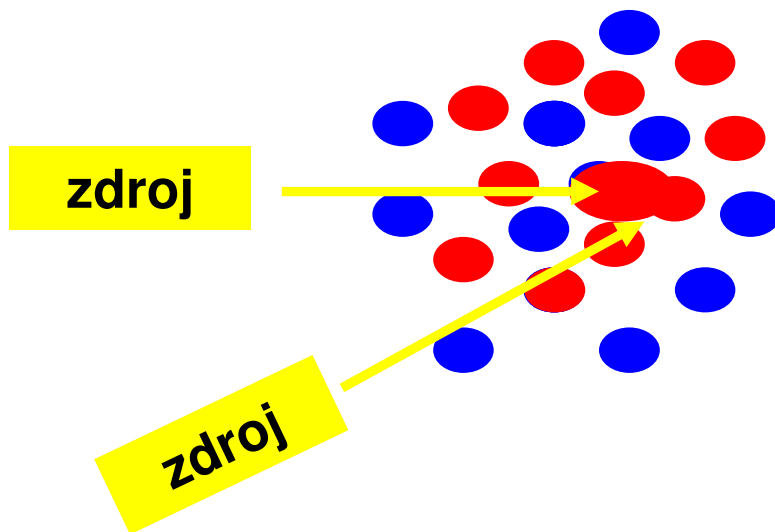
Pokročilé metody modifikace porozity

Plniva –makročástice (PS, PMMA)

2-fotonová UV-polymerace

(makročástice, polymery
3-methacryloxypropyltrimethoxysilane)

řízená makroporozita (>100 nm)



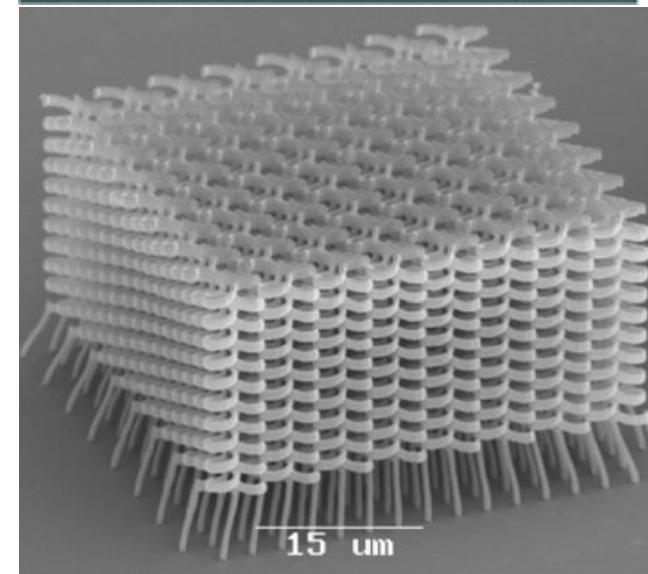
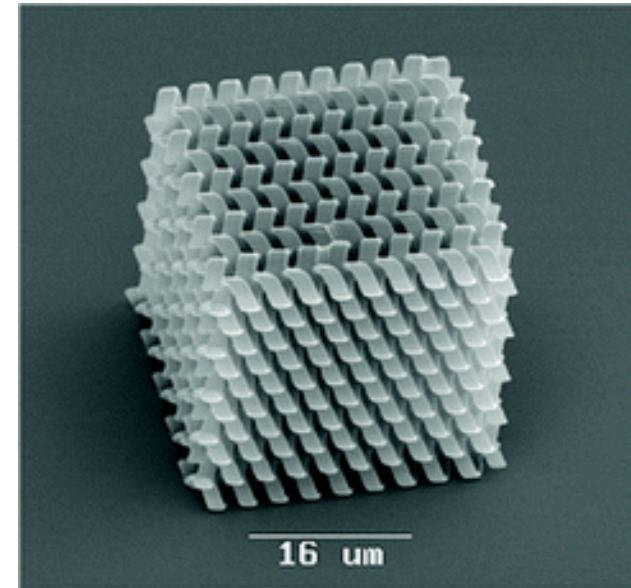
Pokročilé metody modifikace porozity

Výhody:

přesná distribuce velikosti pórů
orientovaná struktura

Použití

optické komponenty
fotonické krystaly
materiály s negativní refrakcí



Pokročilé metody modifikace porozity

Plniva

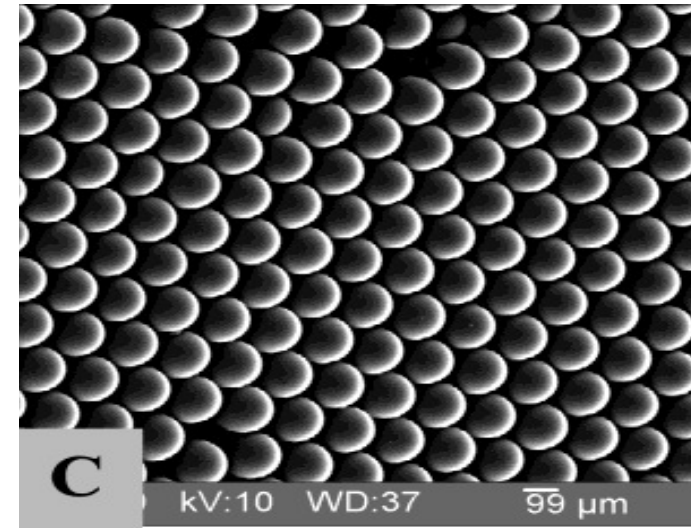
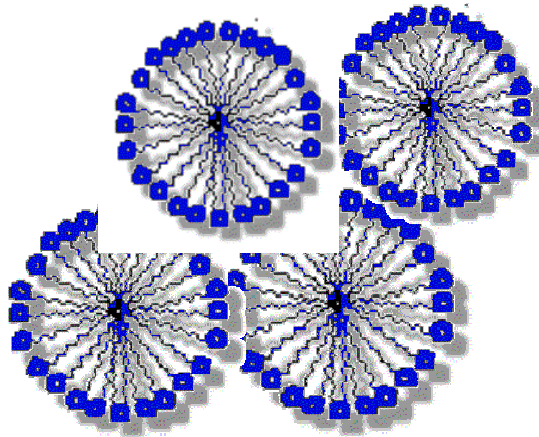
Nanočástice

(PS, latex, organicky modifikovaný SiO_2)

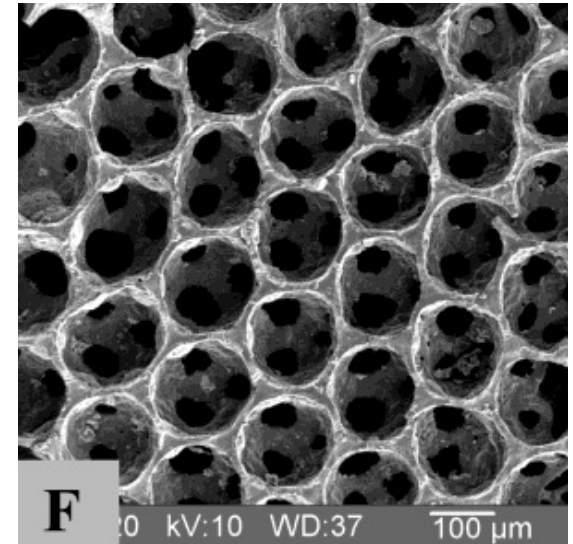
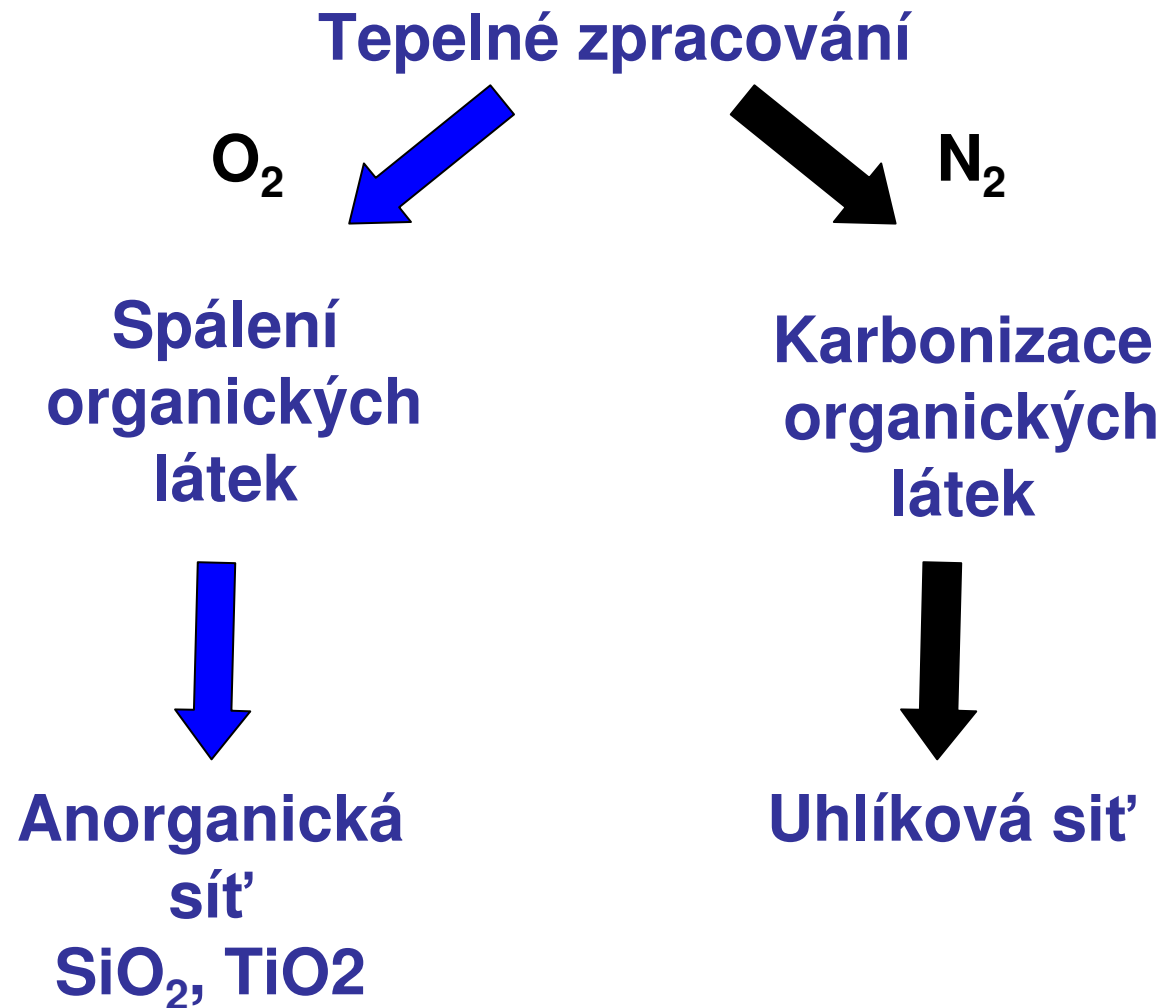
Sférické micely

řízená mezoporozita (< 50 nm)

řízená makroporozita (> 50 nm)



Pokročilé metody modifikace porozity



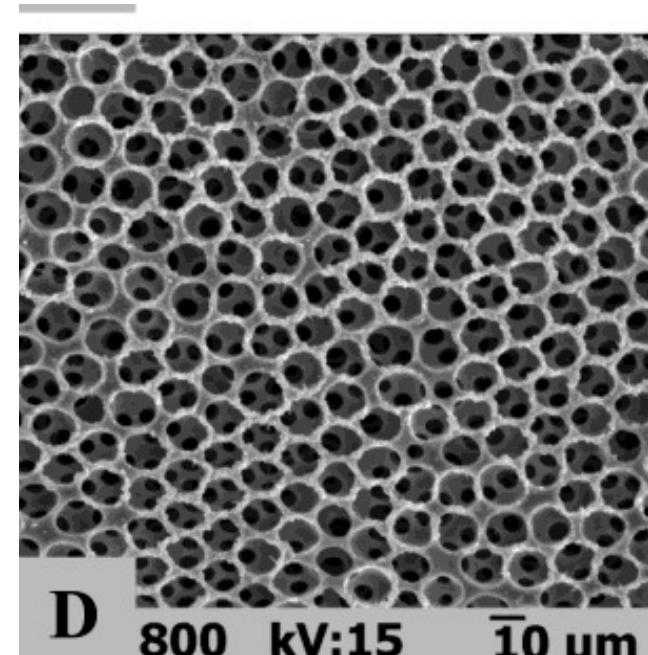
Pokročilé metody modifikace porozity

Výhody:

přesná distribuce velikosti pórů
orientovaná struktura

Použití

anorganické nosiče
baterie, kondenzátory



Membrány

Membrány

s definovanou porozitou

polaritou

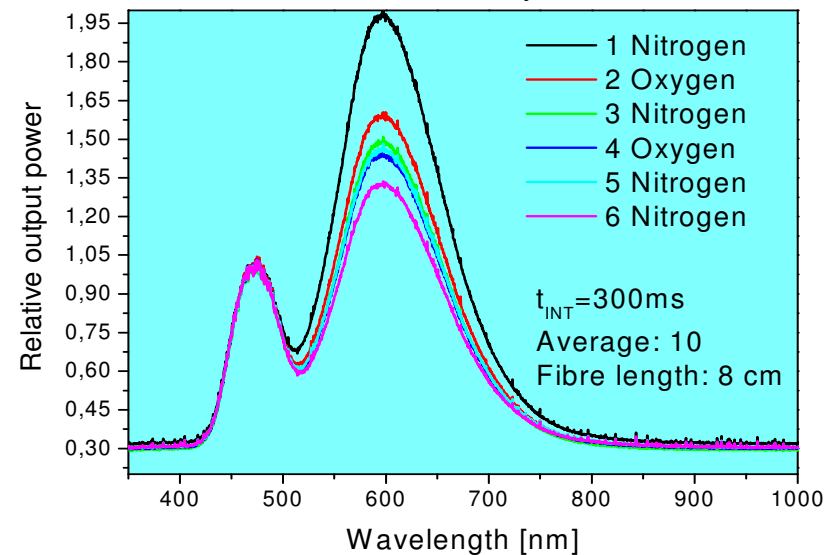
Imobilizovaný převodník

Využití

Separační metody

Senzory (optické, elektrické)

Komplexy Ru citlivé na O₂

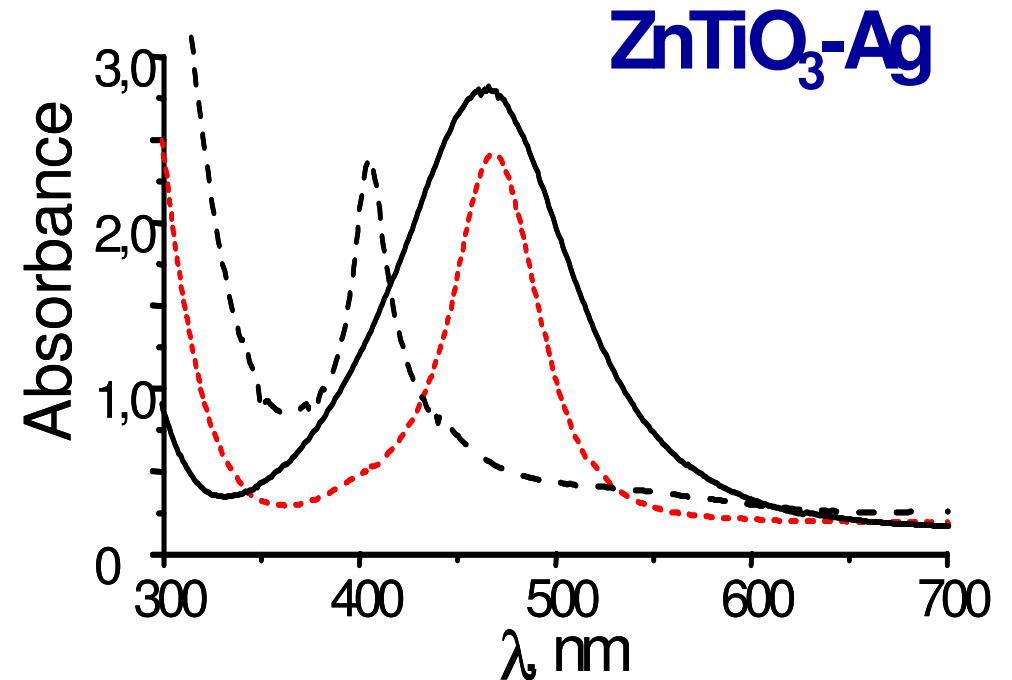
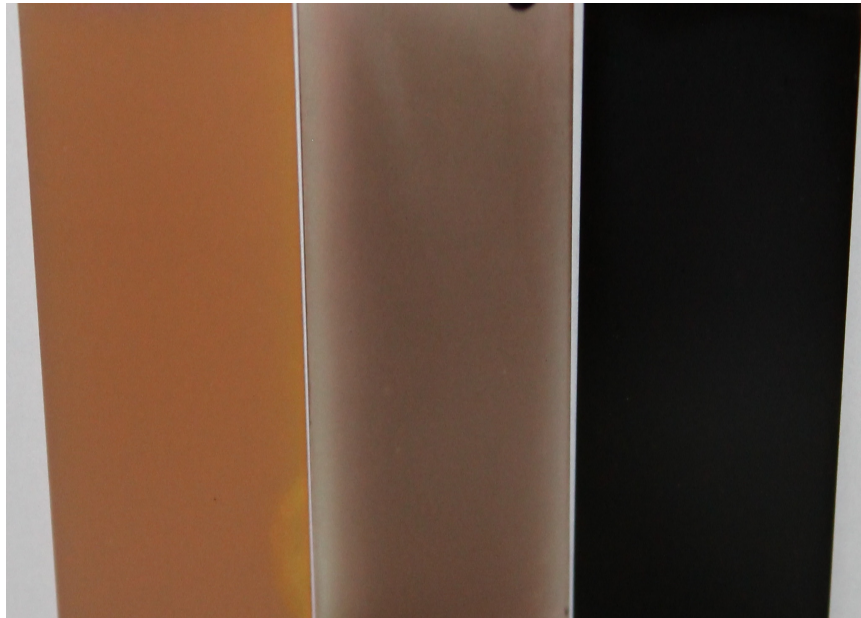


Membrány

Biogenní membrány

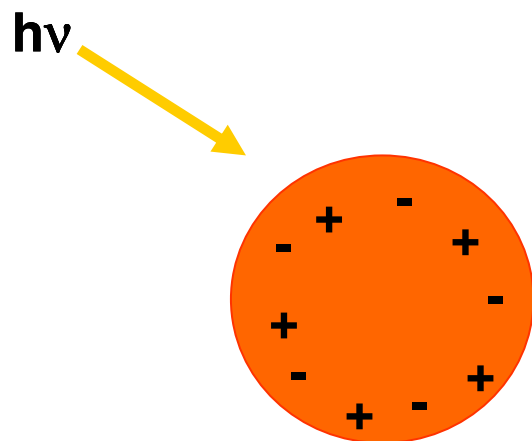
stříbro redukované v porézních vrstvách

vrstva funkcionalizována NH_2 propylTMOS



Zbarvení souvisí s velikostí pórů

Lokalizované plasmony



Ag 430 nm

Au 540 nm

Cu 670 nm

Pt, Pd

Kolektivní rezonance elektronů

Lokalizovaný Plasmon

materiál

velikost částic

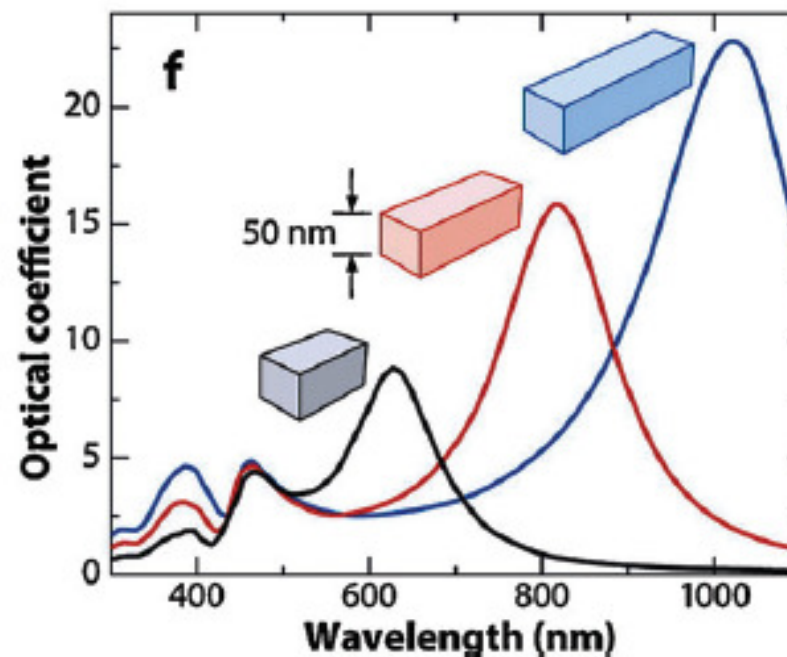
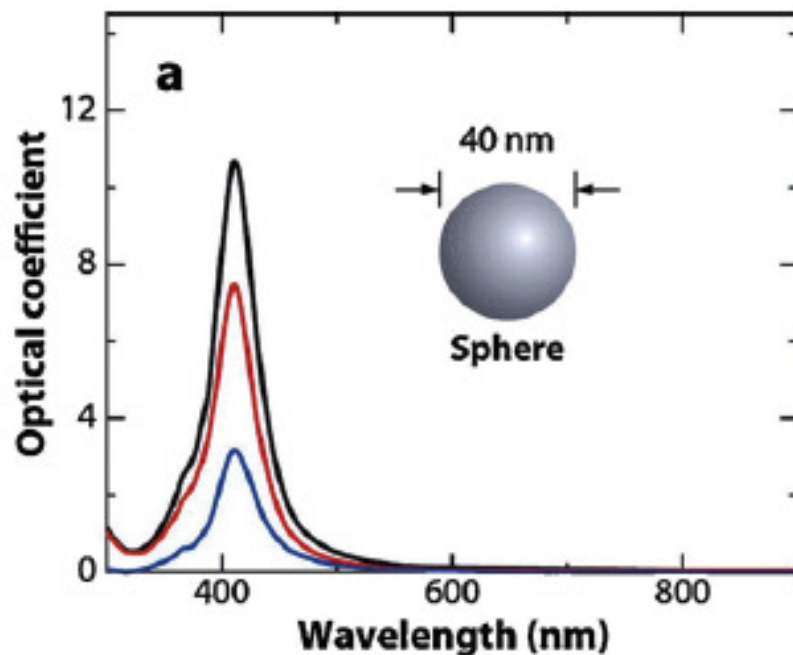
vlnová délka záření

index lomu okolního prostředí



Au, stabilizátor chitosan

Lokalizované plasmony



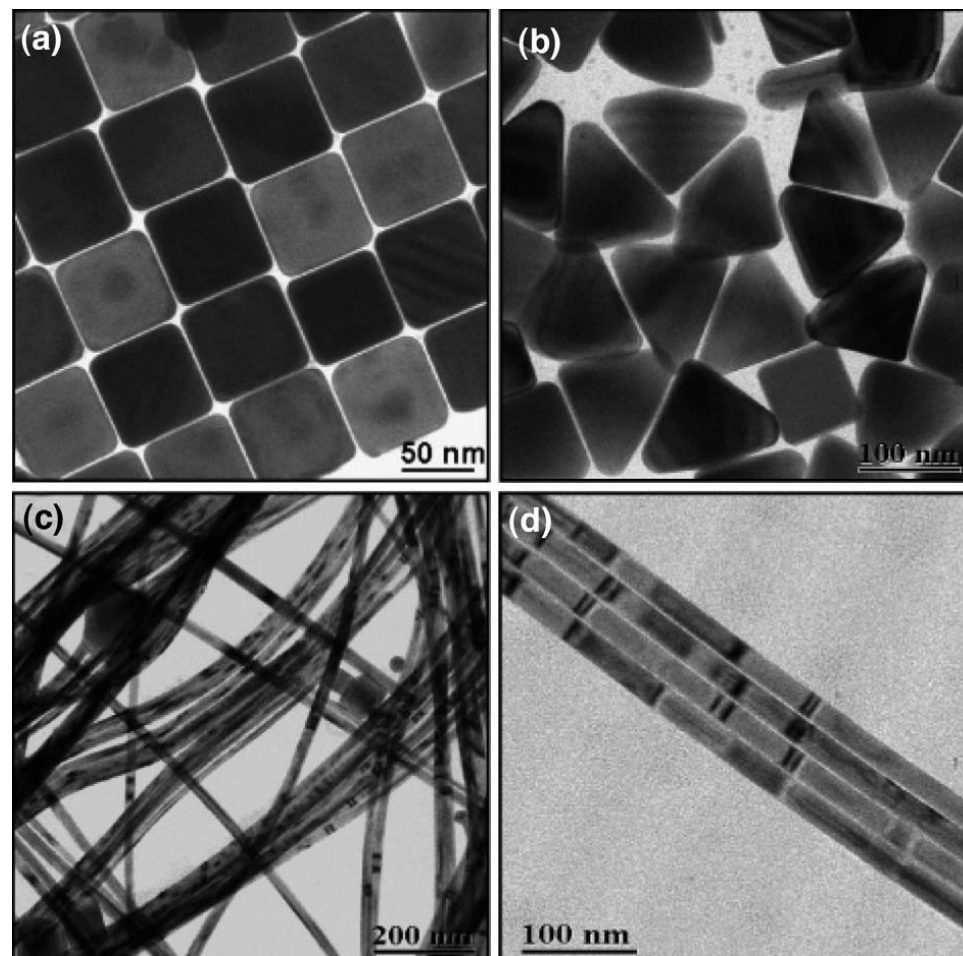
Posun plasmonu s chemickým okolím částice
Opto-chemické senzory, fotokatalytické materiály

Lokalizované plasmony

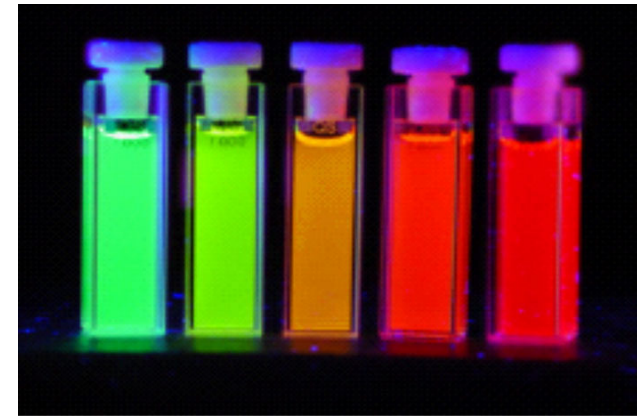
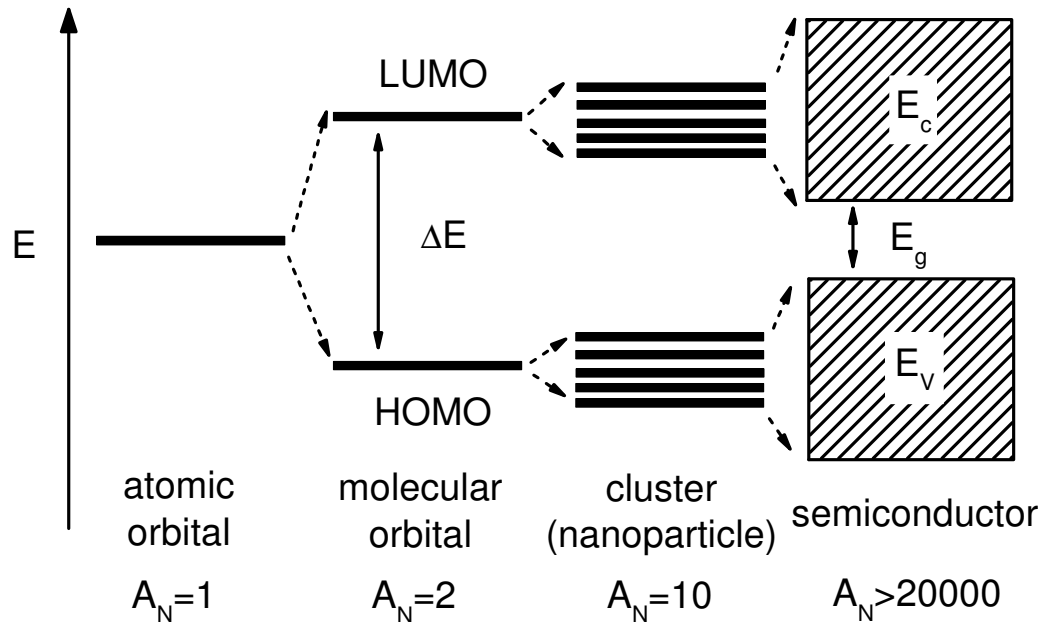
Podmínky syntézy

Surfaktanty

polyvinylpyrolidon



Kvantové tečky



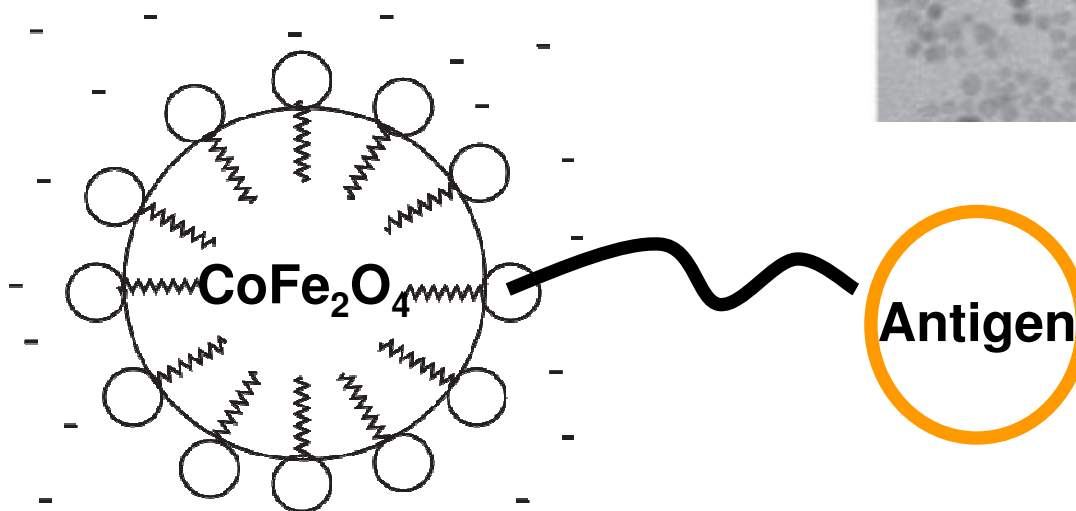
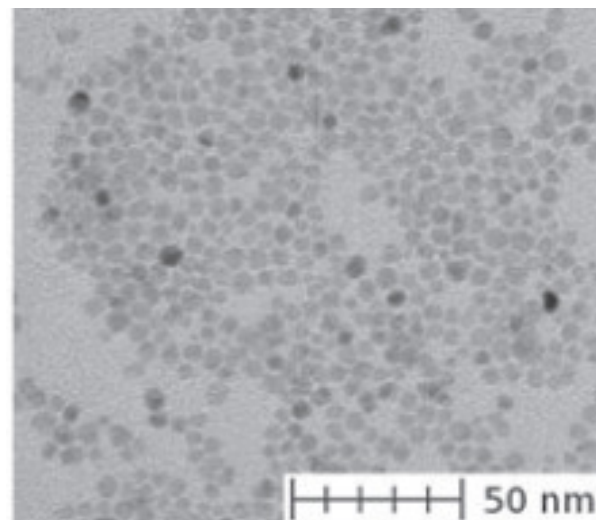
Polovodičové materiály (CdS, ZnSe)

šířka zakázaného pásu závisí na velikosti částic

Magnetické nanočástice

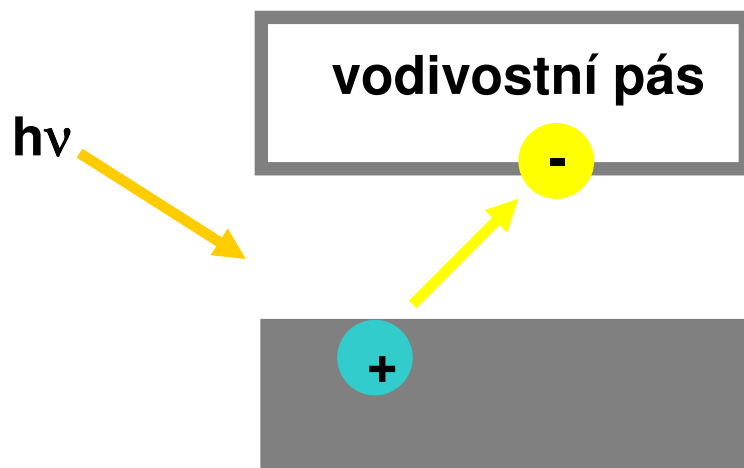
Nanočástice

Paramagnetické materiály
 CoFe_2O_4

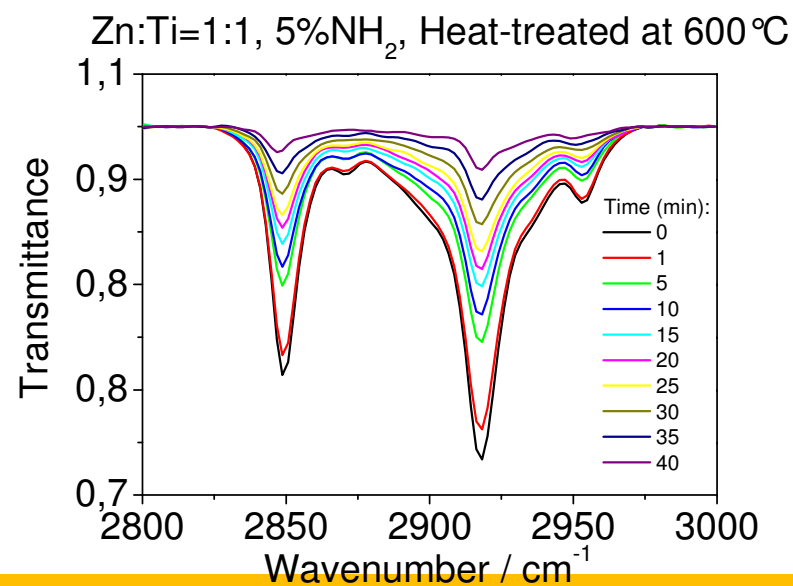
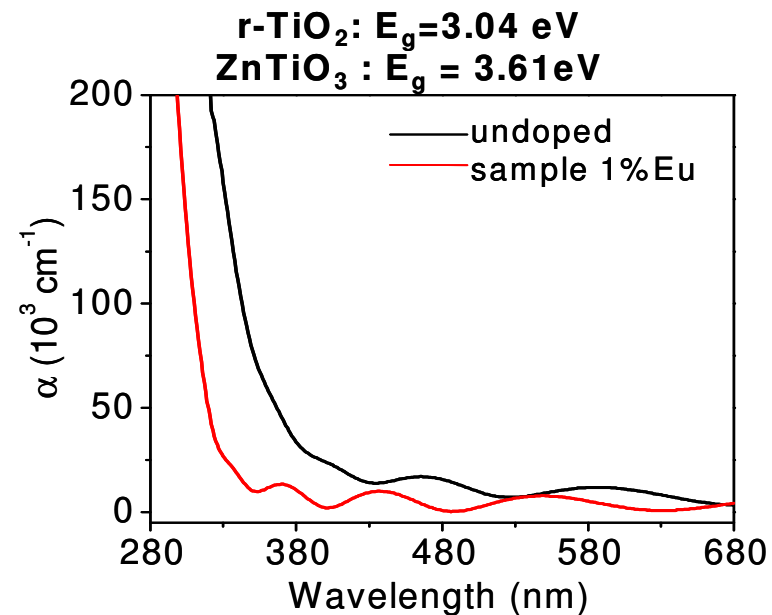


Magnetická terapie

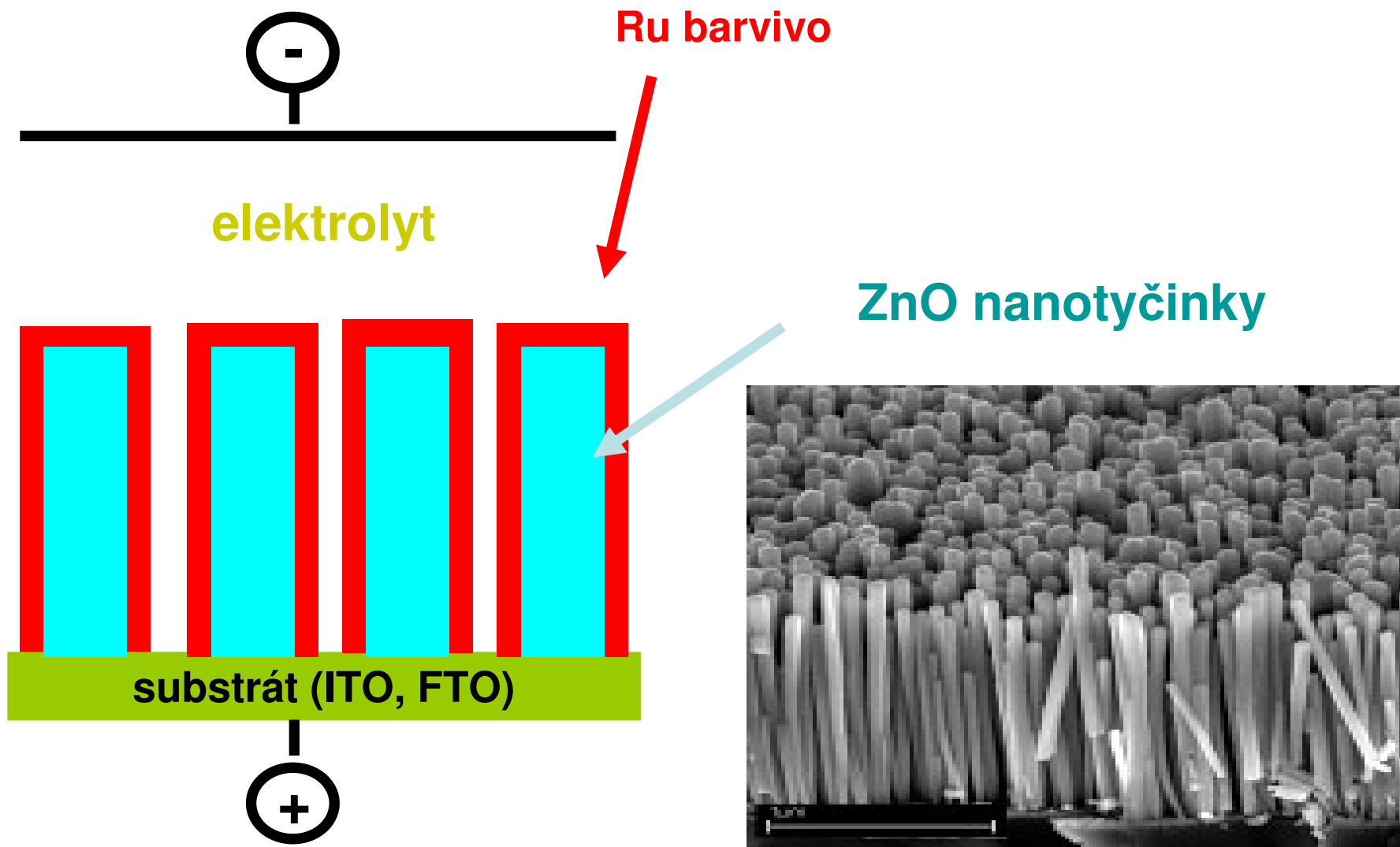
Fotoaktivní materiály



separace elektronu-díry
interakce s látkou (H_2O)
fotodegradace (kys. stearová)



Fotoaktivní materiály



Závěr

Seznámení se základy metody sol-gel

Příprava monolitů a vrstev

Ukázka vybraných aplikací

Děkuji Vám za pozornost

Závěr